

1-苯基-3-甲基-4(β-苯甲酰基乙酰基)-吡唑酮-5与镧、铕、铽配合物的质谱研究*

李沅英 孔碧霞 杨燕生

(中山大学化学系, 广州 510275)

关键词 1-苯基-3-甲基-4(β-苯甲酰基乙酰基)-吡唑酮-5、配合物

稀土元素的β-二酮配合物的质谱研究曾有文献报道, 但大多数是含氟代的直链或杂环β-二酮稀土配合物^[1-5]。本文研究我们合成的1-苯基-3-甲基-4(β-苯甲酰基乙酰基)-吡唑酮-5(简称PMPEP = L)与镧、铕、铽配合物的质谱, 此配体是由吡唑啉环上的羰基与支链上的两个羰基互为β位的三酮。本文首次报道此配体和镧、铕、铽三个元素配合物的质谱。

一、实验部分

1. 配体和配合物的合成 另文报道。

2. C、H、N含量测定 美国 Perkin Elmer 240B 元素分析仪。He 气氛, 950°C。三个稀土配合物的元素分析结果列于表1。

表1 镧、铕和铽三个配合物的元素分析

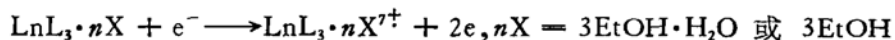
配 合 物	Ln		C		H		N	
	实测值	计算值	实测值	计算值	实测值	计算值	实测值	计算值
La(PMPEP) ₃ ·3EtOH	11.21	11.23	61.10	61.12	5.30	5.33	6.74	6.79
Eu(PMPEP) ₃ ·3EtOH·H ₂ O	11.99	12.02	59.77	59.76	5.12	5.14	6.62	6.64
Tb(PMPEP) ₃ ·3EtOH·H ₂ O	12.49	12.50	59.43	59.43	5.11	5.11	6.60	6.60
PMPEP			70.99	71.30	4.95	5.07	8.72	8.75

3. 质谱测定 英国 VG 2A B-HS 型质谱仪, 电子能量 70eV, 离子源温度 150°C, 质量范围优于 1000。

二、结果与讨论

1. 配体及镧、铕和铽与 PMPEP 配合物的质谱 各质谱的主要碎片离子及其相对丰度(取相对丰度值大于 20% 的碎片离子)列于表 2-4。

2. 裂解过程分析 三种 β-三酮的稀土配合物均出现分子离子峰



表明该配合物具有相当的稳定性, 这是因为该配合物分子中有 3 个羰基, 在羰基氧上未共用电子对的电离电压比较小(98eV)的缘故。据此分子离子峰的位置, 可知此配合物的相对分子质量。质谱分析的组成与元素分析的组成完全一致。镧(III)离子半径比铕(III)和铽(III)稍大, 所以, 镧的配合物中没有水合分子, 而铕和铽的配合物都含 1 分子水。

文献[2]中指出: 对稀土含氟代的β-二酮配合物质谱分析时, 将会连续地失去配体, 出现 $(\text{LnL}_3)^{7+}$ 、 $(\text{LnL}_2)^{7+}$ 和 $(\text{LnL})^{7+}$ 的碎片离子峰。在我们的研究中亦同样存在, 如

本文 1990 年 12 月 31 日收到, 1992 年 1 月 20 日收到修改稿。

* 国家自然科学基金资助项目。

TbL_3^{7+} (相对丰度 100%), TbL_2^{7+} (100%), TbL^{7+} (100%);

EuL_3^{7+} (相对丰度 18.6%), EuL_2^{7+} (31.9%), EuL^{7+} (100%);

LaL_3^{7+} (相对丰度 26.2%), LaL_2^{7+} (52.3%), LaL^{7+} (100%).

表 2 镧配合物质谱的主要碎片离子及其相对丰度 ($I > 20\%$)

m/e	相对丰度 %	碎片离子
1233	27.10	$LaL_3 \cdot 3EtOH \cdot H_2O$
1097	26.2	LaL_2
778	52.3	LaL_2
631	76.6	$LaL(L-C_6H_5O_2)$
577	21.0	$LaL(L-C_{11}H_9O_2N_2)$
457	100.	LaL
431	20.1	$LaL-CO$
173	19.2	$L-C_6H_5O_2$

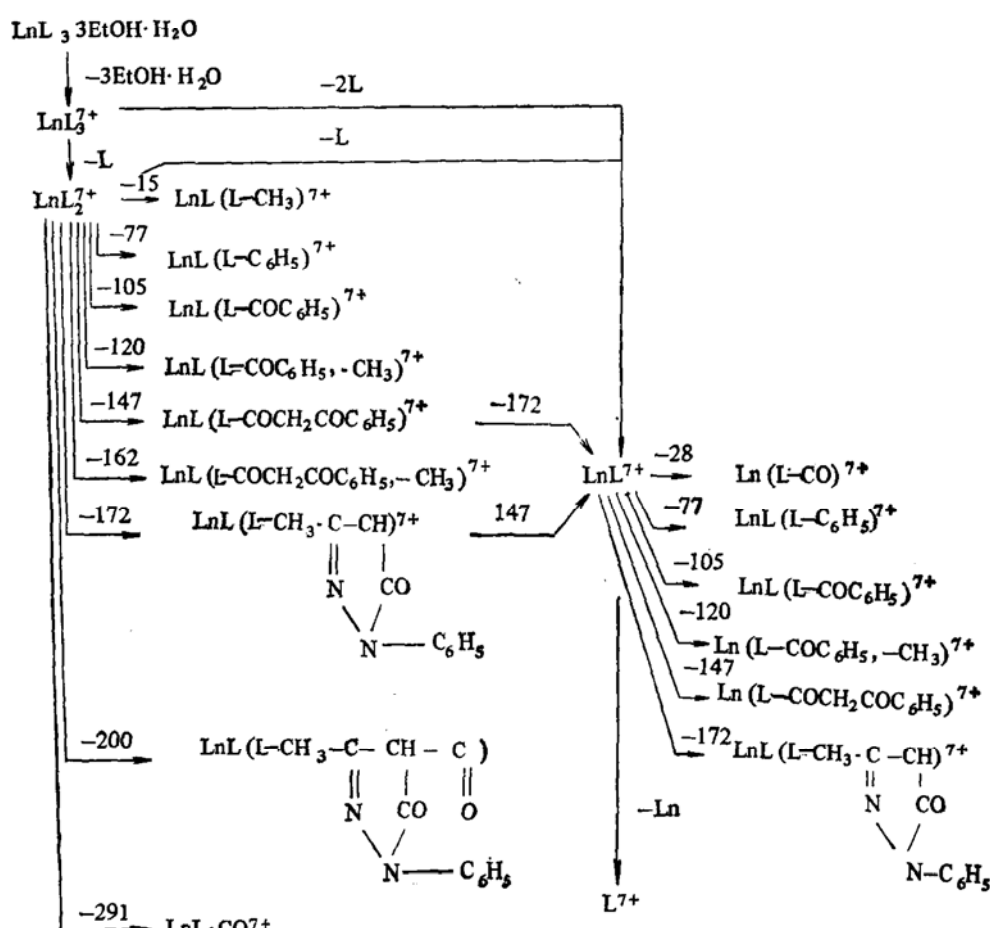


图 1

实验表明：碎片离子的稳定性与配体数目和中心原子的大小有关，当配体数目小时，稳定性高，当中心原子体积较小时，稳定性亦较高。 EuL_3^{7+} 和 EuL_2^{7+} 的相对丰度比镧和铽相应碎片离子的丰度较小，有理由认为：铕在配合物分解脱除配体过程中，发生了价态变化，由于二价铕的离子半径 ($1.12 \times 10^{-8} \text{ cm}$) 甚至还大于镧 (III) ($1.06 \times 10^{-8} \text{ cm}$)，所以， EuL_2^{7+} 和 EuL^{7+} 碎片离子的相对丰度比镧和铽的较小。铕的价态变化情况与文献[1]的结果类同。

综合以上质谱分析过程，配体 PMPEP 和镧、铕、铽的配合物的质谱断裂过程，可用图 1

表3 镨配合物质谱的主要碎片离子及其相对丰度 ($I > 20\%$)

m/e	相 对 丰 度 %	碎 片 离 子
1264	21.2	$\text{EuL}_3 \cdot 3\text{EtOH} \cdot \text{H}_2\text{O}$
1115	18.6	EuL_3
793	31.9	EuL_2
485	27.4	$\text{EuL} \cdot \text{CH}_3$
474	100.	EuL
455	100.	$\text{Eu(L-CH}_3)$
395	35.4	$\text{Eu(L-C}_6\text{H}_5)$
379	25.7	$\text{Eu(L-C}_6\text{H}_5, -\text{CH}_3)$
367	46.9	$\text{Eu(L-C}_6\text{H}_5\text{O})$
351	42.5	$\text{Eu(L-C}_6\text{H}_5\text{O}, -\text{CH}_3)$
339	28.3	$\text{Eu(L-C}_8\text{H}_8\text{N}_2)$
327	100.	$\text{Eu(L-C}_9\text{H}_8\text{O}_2)$
310	20.4	$\text{Eu(L-C}_9\text{H}_8\text{ON}_2)$

表4 钕配合物质谱的主要碎片离子及其相对丰度 ($I > 20\%$)

m/e	相 对 丰 度 %	碎 片 离 子
1271	16.7	$\text{TbL}_3 \cdot 3\text{EtOH} \cdot \text{H}_2\text{O}$
1116	100.	TbL_3
795	100.	TbL_2
779	19.3	$\text{TbL(L-CH}_3)$
691	28.1	$\text{TbL(L-C}_6\text{H}_5\text{O})$
675	31.6	$\text{TbL(L-C}_8\text{H}_8\text{O})$
650	100.	$\text{TbL(L-C}_9\text{H}_8\text{O}_2)$
632	51.8	$\text{TbL(L-C}_9\text{H}_8\text{O}_2, -\text{CH}_3)$
622	24.6	$\text{TbL(L-C}_{10}\text{H}_8\text{ON}_2)$
596	100.	$\text{TbL(L-C}_{11}\text{H}_8\text{O}_2\text{N}_2)$
578	34.2	$\text{TbL(L-C}_{10}\text{H}_{10}\text{O}_2\text{N}_2)$
546	22.8	$\text{TbL(L-C}_9\text{H}_8\text{O}_2, -\text{C}_6\text{H}_5, -\text{CO})$
504	40.4	TbL.CO
494	24.6	TbL.CH_3
476	100.	TbL
450	29.0	Tb(L-CO)
400	34.2	$\text{Tb(L-C}_6\text{H}_5)$
372	29.8	$\text{Tb(L-C}_6\text{H}_5\text{CO})$
355	25.4	$\text{Tb(L-C}_8\text{H}_8\text{O})$
348	35.1	$\text{Tb(L-C}_8\text{H}_8\text{N}_2)$
330	27.2	$\text{Tb(L-C}_9\text{H}_8\text{O}_2)$
320	92.1	L
306	100.	L-CH_3

表示。

参 考 文 献

- [1] 徐广智等, 化学学报, 42(1984), 3: 239.
[2] Хоменко, В. С. и др., Теоретическая и Прекладная Химия β -дикетонатов Металлов, 1985, 75.
[3] Schildcrout, S. M., Inorg. Chem., 24 (1985), 5:760.
[4] Das, M., Inorg. Chim. Acta, 83(1984), 1:L1—L3.
[5] Хоменко, В. С. и др., Журн. Прикл. Спектроскопии., 1978, 29, 129.
[6] 中山大学金属系编, 稀土物理化学常数, 冶金工业出版社, 1978, 3.